

牧敬文, 鈴木巳喜男, 馬杉峻, 高谷昌弘^{*1}:

ピリダジノン誘導体の NMR スペクトル

Yoshifumi Maki, Mikio Suzuki, Takashi Masugi, Masahiro Takaya:

Nuclear Magnetic Resonance Spectra of Pyridazinone Derivatives.

Various kinds of 6(1*H*)-pyridazinone derivatives were synthesized to measure their nuclear magnetic resonance spectra and chemical shifts of 6(1*H*)-pyridazinone ring-protons were discussed.

著者らは既に数種の 6(1*H*)-pyridazinone 誘導体の NMR スペクトルを測定し, ハロゲン置換位置の決定,^{1),2)} さらに chloromaleic hydrazide の互変異性の決定に応用した.³⁾

また Katritzky らは maleic hydrazide の互変異性は monooxo-monohydroxy form が優先的であることを数種のモデル化合物の NMR スペクトルから決定している.⁴⁾

本報告では NMR スペクトル未測定の 6(1*H*)-pyridazinone 誘導体を数種合成し, 同スペクトルにつき若干の知見を得たので報告する。

なお NMR スペクトルは Varian A-60 High Resolution NMR Spectrometer を用い, CDCl_3 中で測定し, 化学シフトは p.p.m. 単位で表わした。

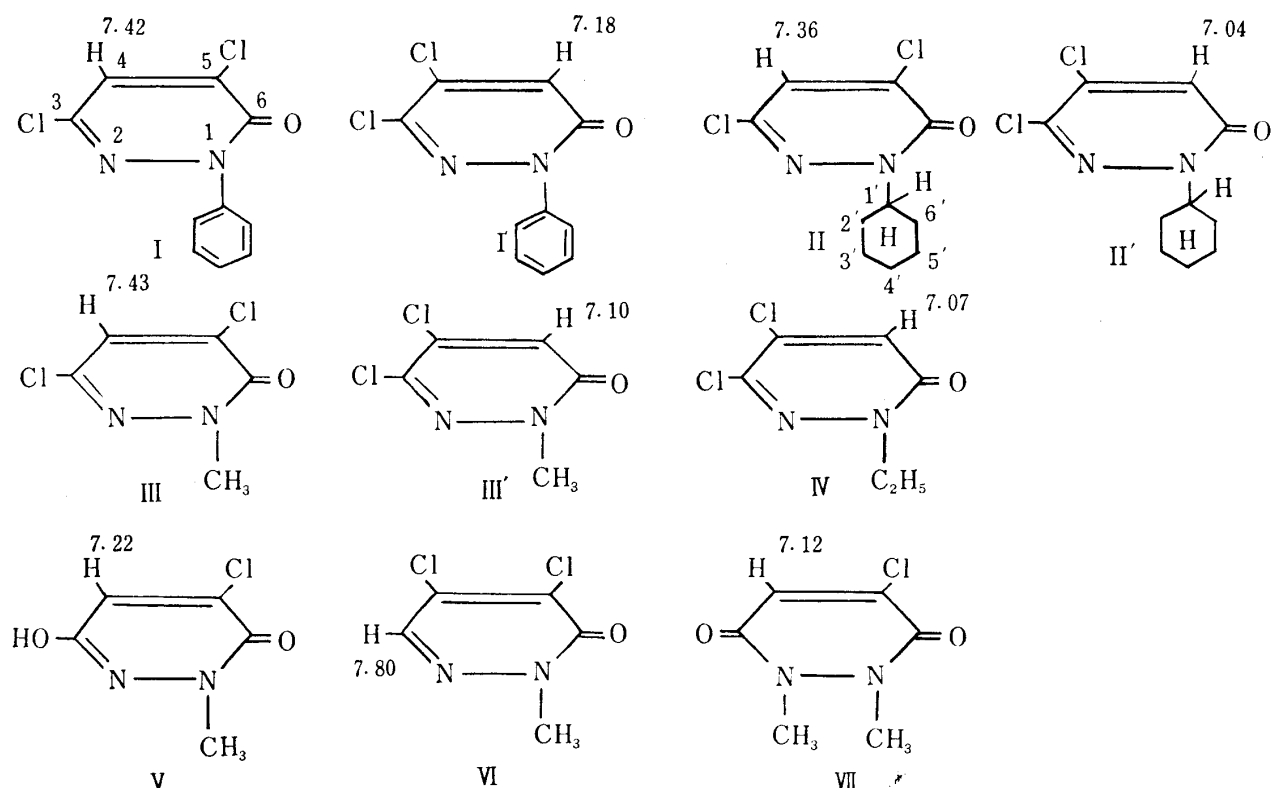


Chart 1.

Chart 1. に示したように 1-phenyl(cyclohexyl, methyl)-3,5-dichloro-6(1*H*)-pyridazinone (I~III) の 4 位プロトノン

*1 生産開発科学研究所 (Morimoto-cho, Sakyo-ku, Kyoto)

ロトンはそれぞれ対応する 3,4-dichloro 体 ($\text{I}'\sim\text{III}'$) の 5 位プロトンより低磁場に共鳴する。^{1),2)}

5 位プロントの化学シフトに対する 1 位置換基の影響を見ると、 II' , III' および 1-ethyl-3, 4-dichloro-6(1H)-pyridazinone(IV) の比較から明らかのように、1 位アルキル基が bulky なほど、僅かであるが、高磁場シフトが見られる。これに関連して Katritzky⁴⁾らは 1 位 methyl 基は 1 位に置換基を有しないものより 5 位プロトンを 0.4 ppm 低磁場シフト（但し Dimethylsulfoxide 中で）させると報告している。また 1 位置換基がフェニル基の場合 (I') は先の脂肪性置換基より低磁場シフトを惹起する。

Katritzky⁴⁾らは 1-methyl-3-hydroxy-6(1H)-pyridazinone の水酸基を塩素で置換した場合、4 位プロトンは約 0.5 ppm 常磁性シフト（但し Dimethylsulfoxide 中で）することを報告している。 III および V の比較から明らかのように、5 位が塩素化されている化合物においては 3 位水酸基の塩素置換により 4 位プロトンは約 0.2 ppm 常磁性シフトする。

なお II , II' は 5 ppm 附近に半値幅約 25 c. p. s. の幅広い N-C_{1'}H によるグシナルを有する。この場合 bulky な pyridazinone 環はシクロヘキサン環に対して安定な equatorial に配位し、環反転は困難とみられるし、C_{1'}-H の半値幅からこのプロトンの axial 配位が支持される。

1-methyl-4, 5-dichloro-6(1H)-pyridazinone (VI) は III および III' に比較してかなり低磁場に共鳴することが期待されるが、事実、 VI の C₃-H は 7.80 ppm にシグナルを有している。

また 1, 2-dimethyl-5-chloro-3, 6(1H, 2H)-pyridazinone (VII) の C₄-H は他のハイゲン置換-6(1H)-pyridazinone 誘導体に比して最も高磁場に共鳴する。

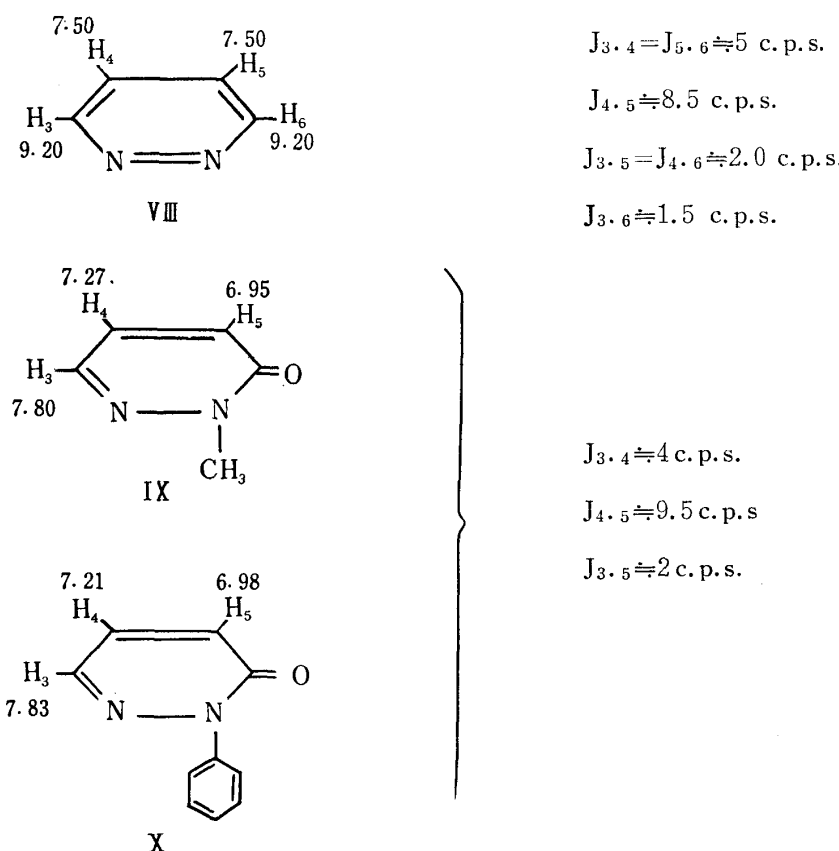


Chart 2.

pyridazine(Ⅷ)の NMR の詳細な解析は Tori,⁵⁾ Elvidge⁶⁾ らにより報告されているが、その chemical shift と結合定数の近似を示すと Chart 2. のようである。

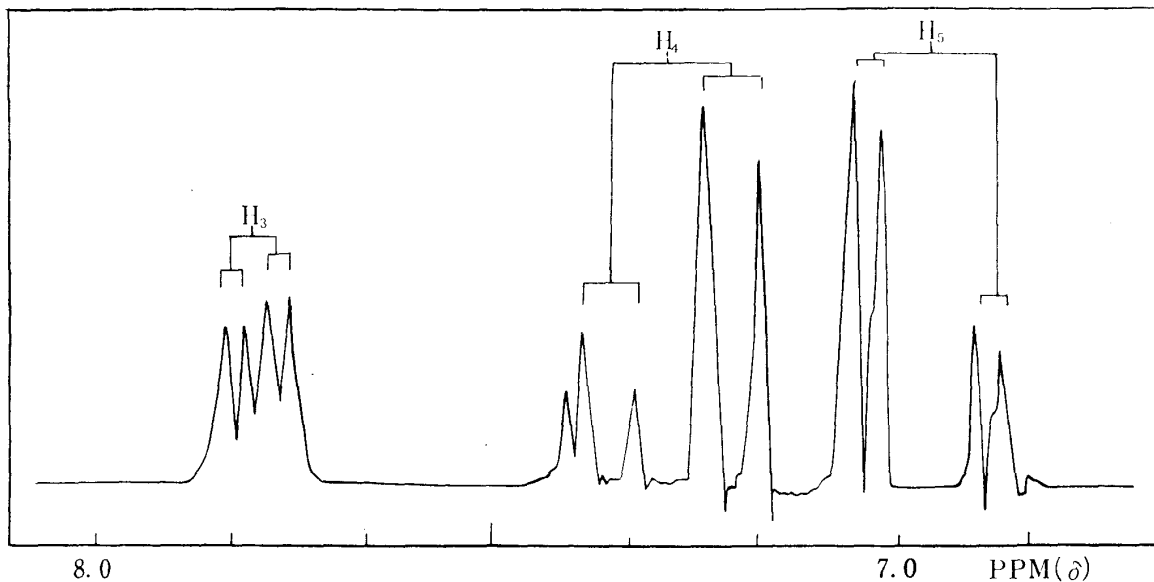


Fig. 1. Nuclear Magnetic Resonance Spectrum of IX (in CDCl_3)

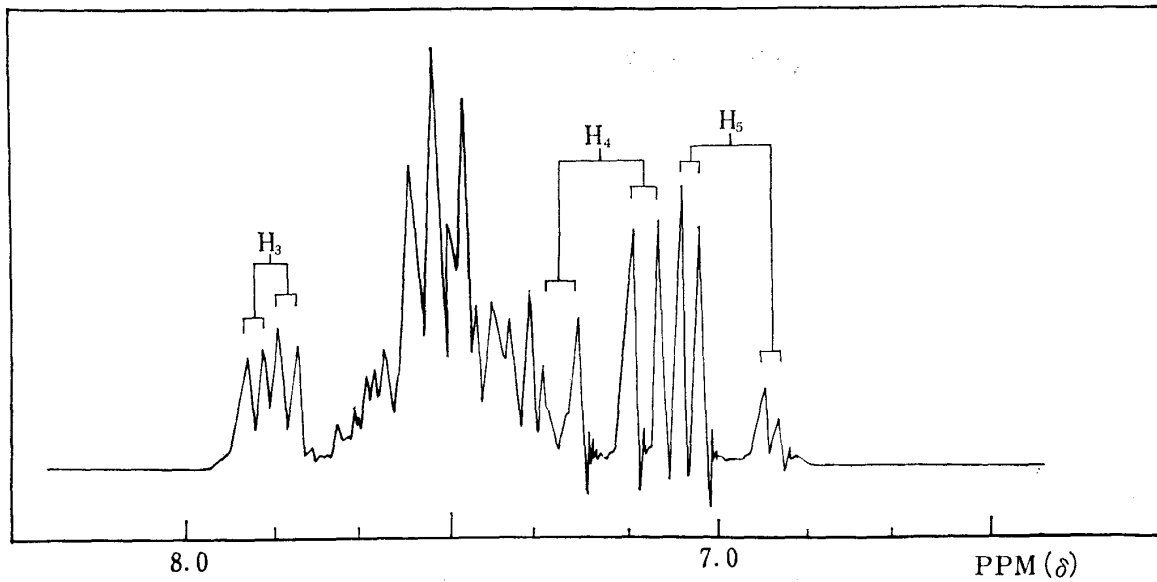


Fig. 2. Nuclear Magnetic Resonance Spectrum of X (in CDCl_3)

しかしながら pyrdazinone 環上 3,4,5 位に置換基を欠く 1-methyl(phenyl)-6(1H)-pyridazinone(IX, X) の NMR スペクトルは報告されていない。Fig. 1, Fig. 2. に IX, X のNMR スペクトルを示す。

Fig. 1. のように IX のリングプロトンは典型的な ABX type のスペクトルを示し、AB 部分は明瞭に分裂した8重線、X部分は4重線を示す。従ってスペクトルから近似的に結合定数を読みとると、Chart 2. に示すように 7.8 p. p. m. を中心とする quartet は C₃-H に、7.27 および 6.95 p. p. m. を中心とする quartet はそれぞれ C₄-H, C₅-H に帰属できる。この C₃-H の chemical shift は Ⅷ の C₃-H, C₆-H に比べると著しく高磁場に現われる。

X の AB 部分はフェニルプロトンのシグナルと一部重なるが、IX と対照して、7.83 p.p.m. を中心とする quartet は C₃-H に、6.88, 7.21 p.p.m. を中心とする quartet はそれぞれ C₅-H, C₄-H に帰属される。この場合 1 位の phenyl 基は methyl 基より C₃-, C₄-, C₅-H を低磁場にシフトさせるが、これは phenyl 基の電子効果および磁気異方性によるものであろう。

実験の部

I, I' は Druey,⁷⁾ II, II', III, III', V は高橋、牧ら,⁸⁾ VI は Wiggins,⁹⁾ X は Druey¹⁰⁾ の方法により合成した。その他の新規化合物は以下のように合成した。

1-ethyl-3,4-dichloro-6(1H)-pyridazinone (IV)

3-hydroxy-5-chloro-6(1H)-pyridazinone 14.6g. を NaOH 8.0g. を含む H₂O 50 ml. に溶解し、攪拌加熱下に Et₂SO₄ 27 g. を滴下する。約 3 hr. 加熱反応を続けて一夜放置後、反応物に 10% NaOH を加えて強アルカリ性となし、Et₂O で中性の生成物を除く。アルカリ水層は戻過後 10% H₂SO₄ で酸性となし、一夜放置して析出する結晶を戻取、水洗、乾燥する。この結晶を含水メタノールより再結晶すると m.p. 213~214° を示す鱗片晶として 1-ethyl-3-hydroxy-4-chloro-6(1H)-pyridazinone の 2.5 g. を得る。^{*2} C₆H₇O₂N₂Cl Anal. Calcd. : C, 41.30; H, 4.05; N, 16.05. Found: C, 41.46; H, 4.20; N, 15.90. IR λ_{max}^{nujol} cm⁻¹: 3000~2400(OH), 1640(CO).

上に得た 1-ethyl-3-hydroxy-4-chloro-6(1H)-pyridazinone 1.0g. を POCl₃ と 30 min. 加熱還流する。後、減圧下に過剰の POCl₃ を除去し、残留物に水を加えて放置、析出する結晶を CHCl₃ で抽出する。CHCl₃ 層水洗、乾燥後 CHCl₃ を溜去して残留物を n-hexane より再結晶する。m.p. 57~59° の IV 0.6 g. を得る。C₆H₆ON₂Cl₂ Anal. Calcd. : C, 37.33; H, 3.12. Found: C, 37.33; H, 3.18. IR λ_{max}^{nujol} cm⁻¹: 1680(CO)。IV の構造は NMR スペクトルにおいて 1 個の pyridazinone 環プロトンを 7.07 p.p.m. (CDCl₃) に示し、構造の確実な III, III' の環プロトンの chemical shift との比較からも支持される。

1,2-dimethyl-3,6(1H, 2H)-pyridazinone (VII)

sym-dimethylhydrazine hydrochloride 11.0g. を H₂O 50 ml. に溶解し、加熱攪拌しつつ chloromaleic anhydride 11.0 g. を滴下する。更に 3 hr. 反応を続け、冷後戻過し、母液を 1/3 量まで減圧下に濃縮する。残留物を n-C₆H₁₄-(CH₃)₂CO より再結晶する。m.p. 181~182° の針晶として VII の 10 g. を得る。C₆H₇O₂N₂Cl Anal. Calcd. : C, 41.25; H, 4.04. Found: C, 41.52; H, 4.11.

1-methyl-6(1H)-pyridazinone (IX)

1-methyl-3-chloro-6(1H)-pyridazinone 4.0g. を EtOH 60ml. に溶解し、これに活性炭 3.6g. Pd-1 w/v% の PdCl₂ 液 40 ml. を加え、H₂ 気流中で接触還元する。約 920 ml. (計算量 710 ml.) の H₂ を吸収した時、活性炭を戻別し、戻液を濃縮、乾固する。残留物はアルカリ性となし、CHCl₃ で抽出する。CHCl₃ 層水洗、乾燥後 CHCl₃ 溜去、残留物を一夜氷室中に放置、プリズム晶として IX の 2.4 g. を得る。(*iso*-C₃H₇)₂O より再結晶。

*2 3-hydroxy-5-chloro-6(1H)-pyridazinone と Et₂SO₄ との反応の詳細は 3) で報告した。生成する 1-ethyl-3-hydroxy-4-chloro-6(1H)-pyridazinone の構造は対応する異性体 5-chloro 体との融点および NMR の比較から決定される。

m.p. 42~43°. C₅H₆ON₂ Anal. Calcd: C, 54.53; H, 5.49. Found: C, 54.77; H, 5.57. IX は吸湿性である。

本報告の NMR スペクトルは京都大学薬学部 新宮徹朗博士により測定された。ここに感謝の意を表する。

文 献

- 1) 牧, 高谷, 鈴木: 薬誌, **86**, 487(1966).
- 2) 高橋, 牧, et al.: 薬誌, **86**(1966)投稿中.
- 3) Y. Maki, M. Takaya, T. Masugi: Chem. Pharm. Bull., **14**(1966)投稿中.
- 4) A. R. Katritzky, A. J. Waring: J. Chem. Soc., **1964**, 1523.
- 5) K. Tori, M. Ogata: Chem. Pharm. Bull., **12**, 272(1964).
- 6) J. A. Elvidge, P. D. Ralph: J. Chem. Soc. (B), **1966**, 250.
- 7) J. Druey, et al.: Helv. Chim. Acta., **37**, 523(1954).
- 8) 高橋, 牧, et al.: 薬誌, **86**(1966)投稿中.
- 9) L. F. Wiggins, et al.: J. Chem. Soc., **1948**, 2191.
- 10) J. Druey, et al.: Helv. Chim. Acta., **37**, 510(1954).

鍛冶健司, 長島弘, 真下喜世彦, 仲恭寛, 重実桂助:

Grignard 反応による合成研究(第7報)*

O-アルキル マンデル酸アミド類に対するアルキル Grignard 試薬の
反応による混合アシロインアルキルエーテル類の合成

Kenji Kaji, Hiromu Nagashima, Kiyohiko Mashimo, Yasuhiro Naka, Keisuke

Shigezane:

Study on Grignard reactions VII Synthesis of Mixed Acyloin

O-Alkyl Ethers by the reaction of alkyl Grignard reagents on O-Alkyl Mandelamides

(Gifu college of pharmacy)**)

It was already observed that mandelonitile, or ethyl mandelimide, even mandelamide reacted with methylmagnesium iodide to form phenyl methylcarbinol together with phenyl acetylcarbinol. (K. Kaji, Yakugaku Zasshi, **77**, 855(1957))

The tendency of the reaction is confirmed in the case of some different kinds of substituted mandelamides and some heteroaromatic analogues. However, various mixed acyloin O-alkylethers (α -alkoxy- α -arylmethyl alkylketones), i.e., 1-methoxy-1-phenyl acetone, 1-methoxy-1-phenyl-2-butanone, 1-methoxy-1-phenyl-2-pentanone, 1-methoxy-1-phenyl-2-hexanone, 1-methoxy-1-phenyl-3-methyl-2-butanone, 1-ethoxy-1-phenyl-acetone, 1-ethoxy-1-phenyl-2-butanone, 1-methoxy-1-(*o*-anisyl)-acetone, 1-methoxy-1-(*p*-anisyl)-acetone, 1-methoxy-1-(*o*-bromophenyl)-acetone and 1-methoxy-1-(*p*-bromo-

* The preceeding paper, K. Kaji, Yakugaku Zasshi, **77**, 858(1957)

** Mitahora, Gifu